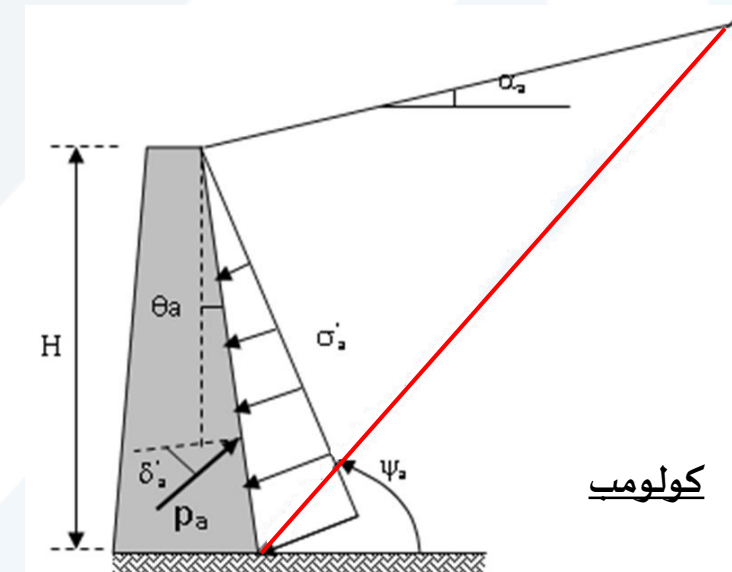
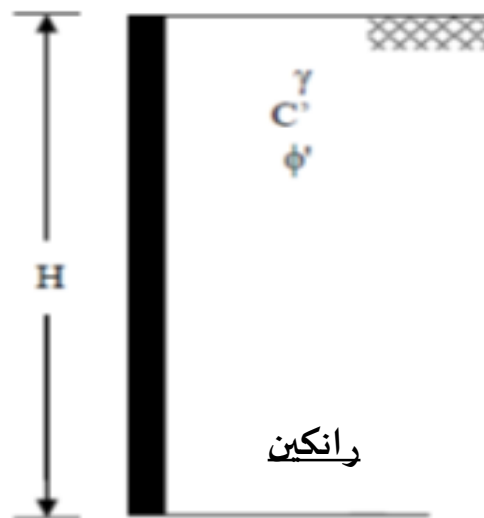


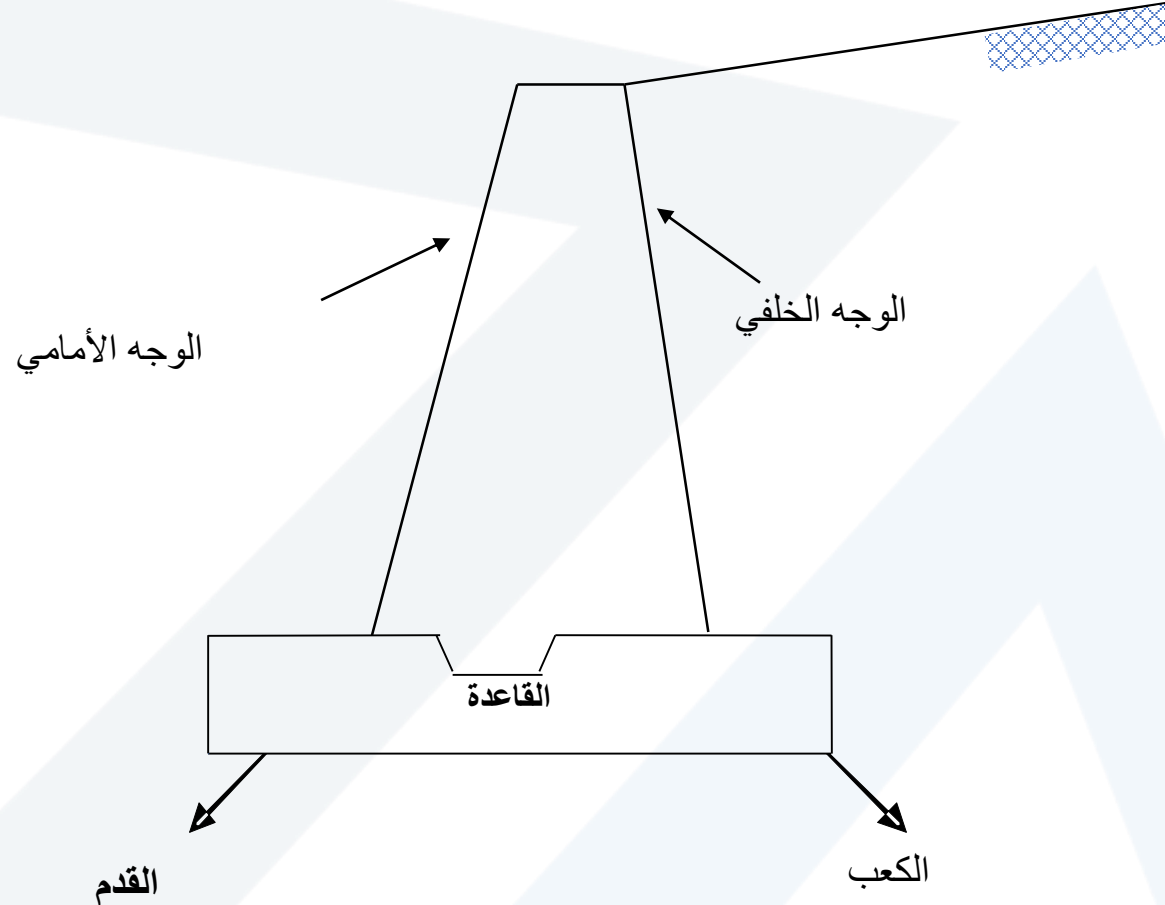
1. 1 نظريات ضغط التربة على الجدران الساندة

كولومب (C.Coulomb) عام 1776 ، حيث افترض أن أسطح الجدار يمكن أن تكون ملساء أو خشنة وأن التربة تنهار على شكل موشور صلب يميل عن الأفق بزاوية γ ، وقام بتحديد ميل مستوى الانهيار γ والدفع الجانبي للترابة مستخدماً نظرية كولومب للانهيار للربط بين الاجهادات الناظمية والمماسية على مستوى الانهيار.

رانكين (Rankine) (1857) باقتراح طريقة مبسطة لحساب ضغط التربة الجانبي، معتبراً أن أسطح الجدار ملساء (الاحتكاك معدوم بين التربة والجدار) والتربة تتلذن نتيجة لقوى الدفع الجانبي، وقد أوجد الدفع الجانبي للتربة اعتماداً على نظرية كولومب للانهيار.



٢. الجدران الاستنادية



١. أنواع ضغوط التربة على الجدران الساندة

الضغط الفعال (الإيجابي)

الضغط المعاكس (السلبي)

الضغط في وضع الراحة (السكون)

الضغط المعاكس (السلبي)

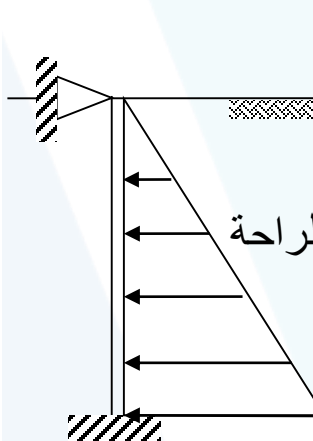
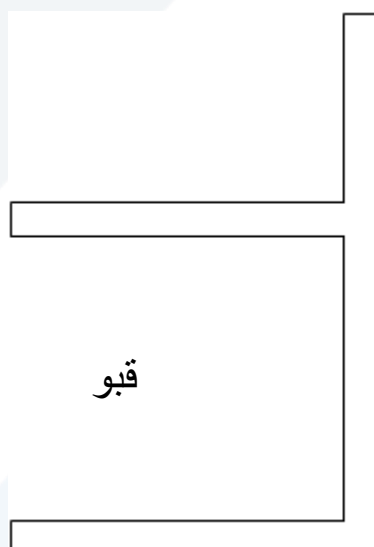
الضغط الفعال (الإيجابي)

للترب المفككة

السكون

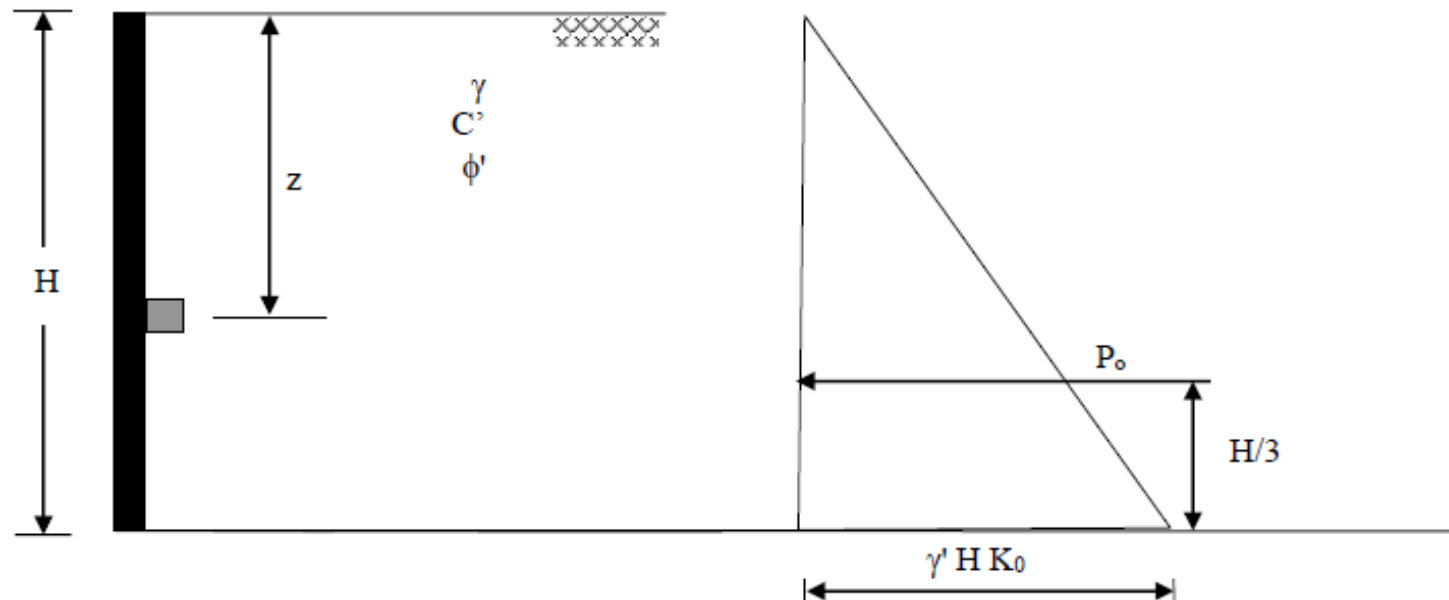
$$\sigma'_{0,a,p} = \sigma'_v \cdot K_{0,a,p} = \gamma' \cdot Z \cdot K_{0,a,p}$$

$$\sigma'_a < \sigma'_0 < \sigma'_p$$



إعداد الدكتور رامي اسطه

٤.١ ضغط التربة في وضع الراحة



$$\sigma'_v = \gamma' \cdot Z$$

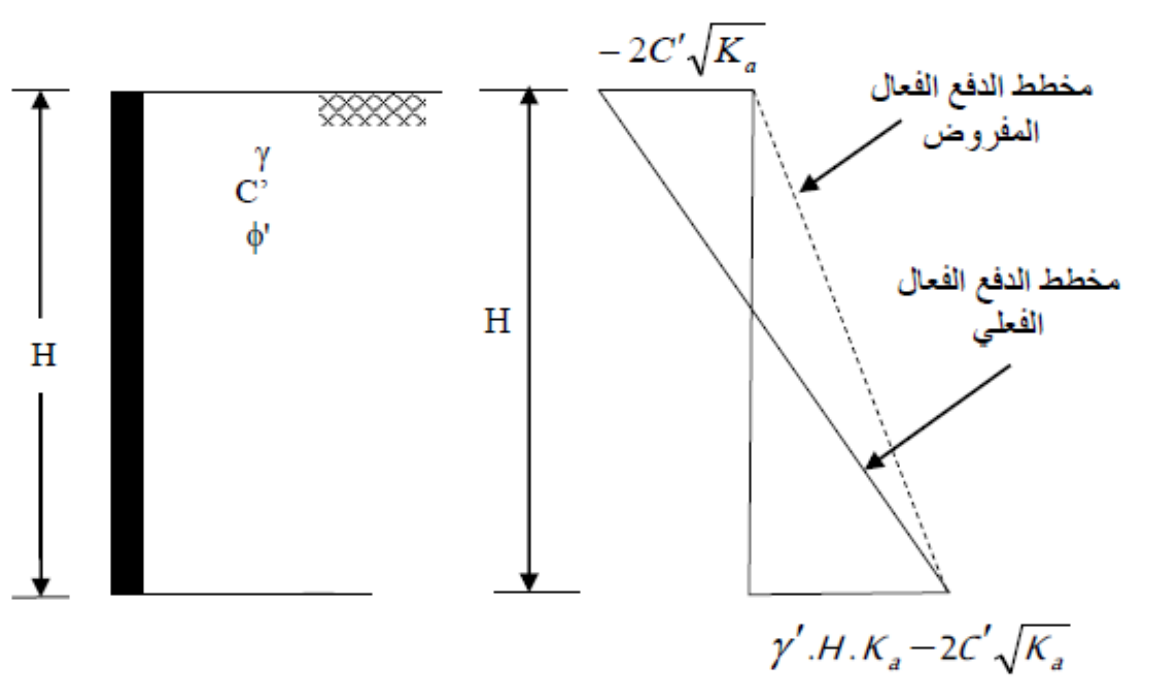
$$\sigma'_0 = \sigma'_v \cdot K_0 = \gamma' \cdot Z \cdot K_0$$

$$\sigma'_0 = \sigma'_v \cdot K_0 = \gamma' \cdot Z \cdot K_0$$

$$K_0 = \frac{\nu}{1-\nu}$$

$$K_0 = 1 - \sin\phi'$$

لحساب **ضغط التربة الفعال (أو المعاكس)** نلجأ عادة إلى استخدام إحدى النظريتين الأساسيتين لدفع التربة الجانبي (نظريّة رانكين ونظريّة كولومب).



1.5 نظرية رانكين (RANKINE'S THEORY)

درس رانكين حالة جدار **أوجهه شاقولية وملساء** (أهم الاحتكاك بين أوجه الجدار والتربة) **وسطح التربة أفقي** وهذا أدى إلى تبسيط المعادلات.

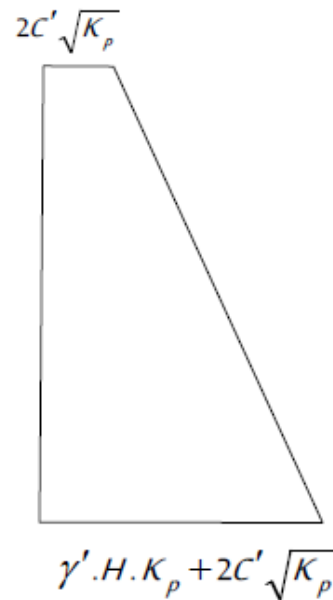
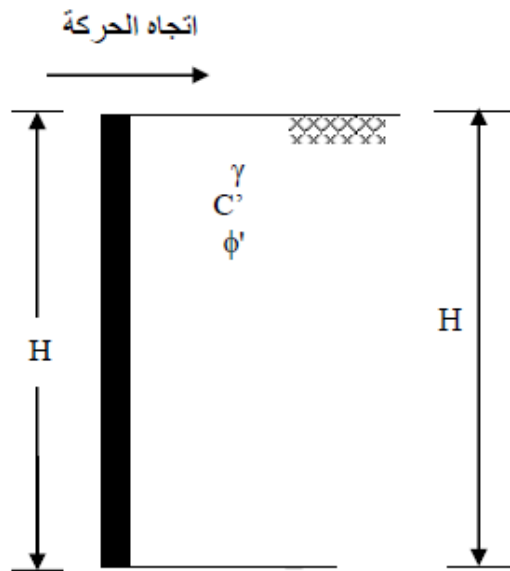
1.5.1 دفع التربة الفعال (الإيجابي) لرانكين (Rankine)

$$\sigma'_a = \gamma' Z K_a - 2C' \sqrt{K_a}$$

$$K_a = \tan^2 \left(45 - \frac{\phi'}{2} \right)$$

$$P'_a = \frac{1}{2} \gamma' H^2 K_a - C' H \sqrt{K_a}$$

1.1 .2 دفع التربة السلبي (المعاكس) لرانكين



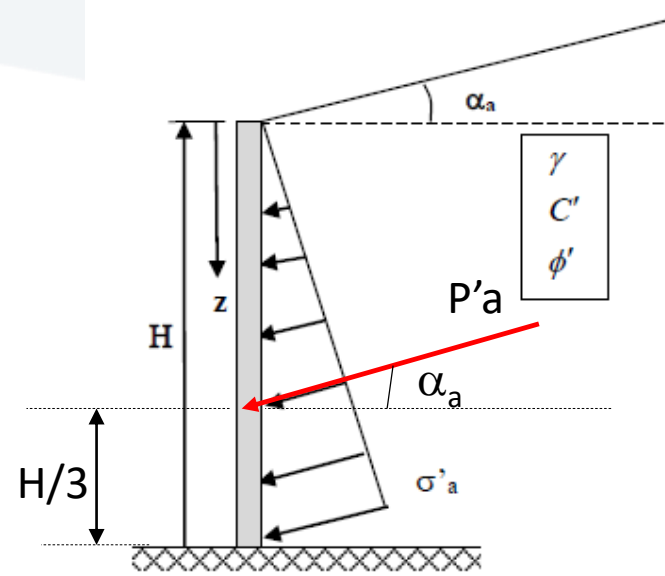
$$\sigma'_p = \gamma' Z K_p + 2C' \sqrt{K_p}$$

$$K_p = \tan^2 \left(45 + \frac{\phi'}{2} \right)$$

$$p'_p = \frac{1}{2} \gamma' H^2 K_p + 2C' H \sqrt{K_p}$$

نوع التربة	انتقال الجدار من أجل الضغط السلبي، الفعال	انتقال الجدار من أجل الضغط
رمل متراص	0.001H	0.01H
رمل متوسط الارتصاص	0.002H	0.02H
رمل مخلخل	0.004H	0.04H
سيلت متراص	0.002H	0.02H
غضار قاسي	0.01H	0.1H
غضار رخو (طري)	0.004	0.05H

1.1 .3 تعميم نظرية رانكين لحالتي الضغط الفعال والسلبي



الضغط الفعال

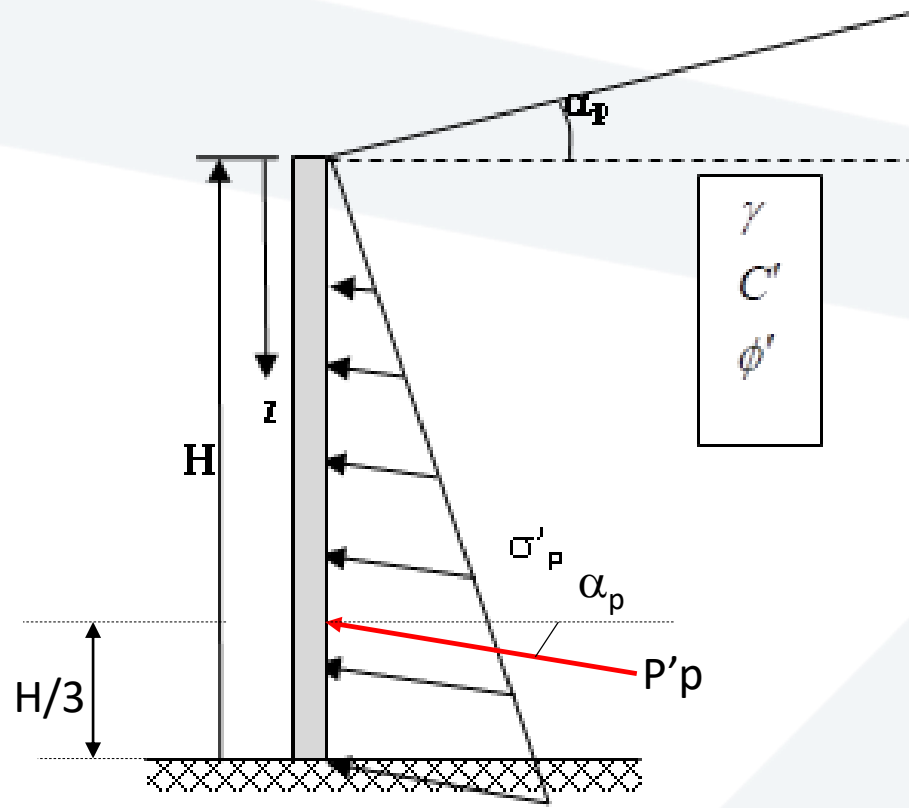
في حالة الترب المفككة

$$\sigma'_a = \gamma' z K_a$$

$$K_a = \cos \alpha_a \frac{\cos \alpha_a - \sqrt{\cos^2 \alpha_a - \cos^2 \phi'}}{\cos \alpha_a + \sqrt{\cos^2 \alpha_a - \cos^2 \phi'}}$$

$$P'_a = \frac{1}{2} \gamma' \cdot H^2 \cdot K_a$$

في حالة الترب المفككة

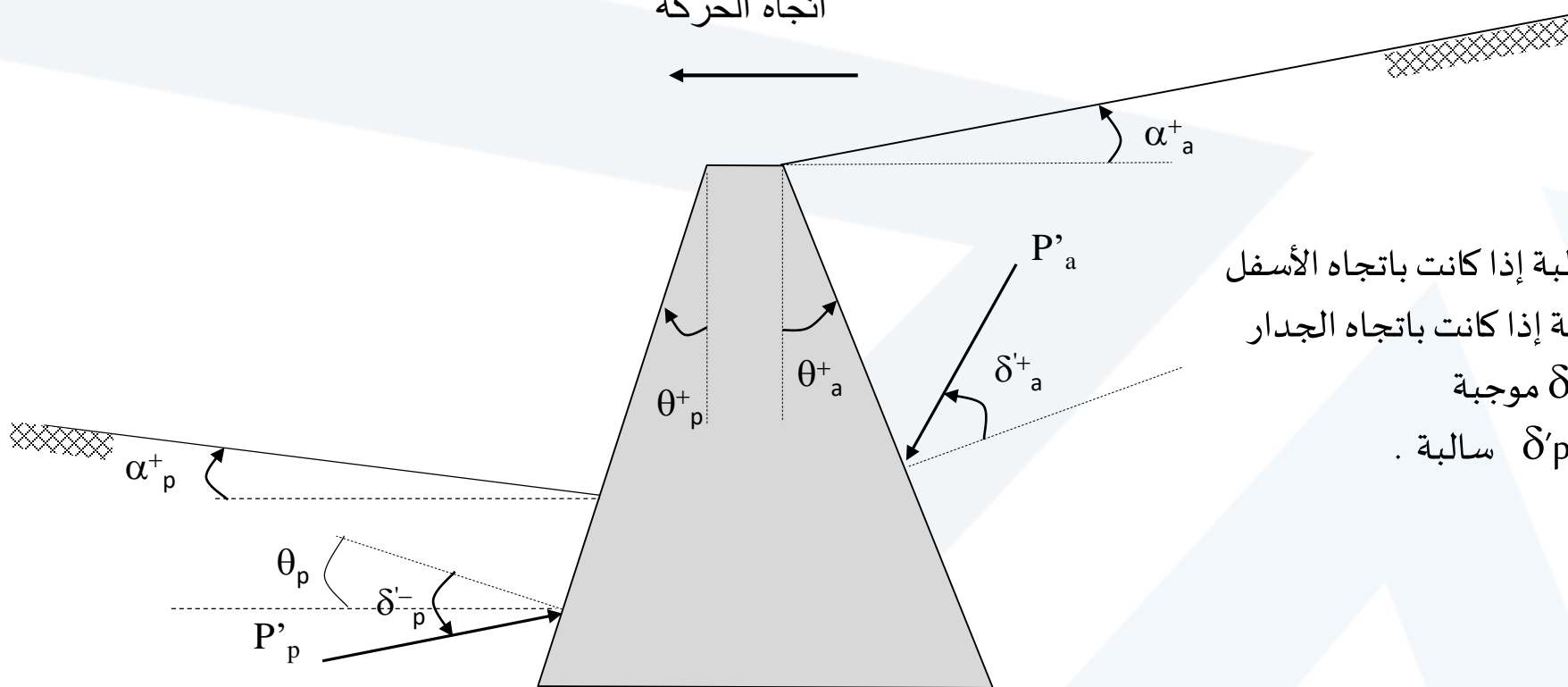


$$\sigma'_p = \gamma' z K_p$$

$$K_p = \cos \alpha_p \frac{\cos \alpha_p + \sqrt{\cos^2 \alpha_p - \cos^2 \phi'}}{\cos \alpha_p - \sqrt{\cos^2 \alpha_p - \cos^2 \phi'}}$$

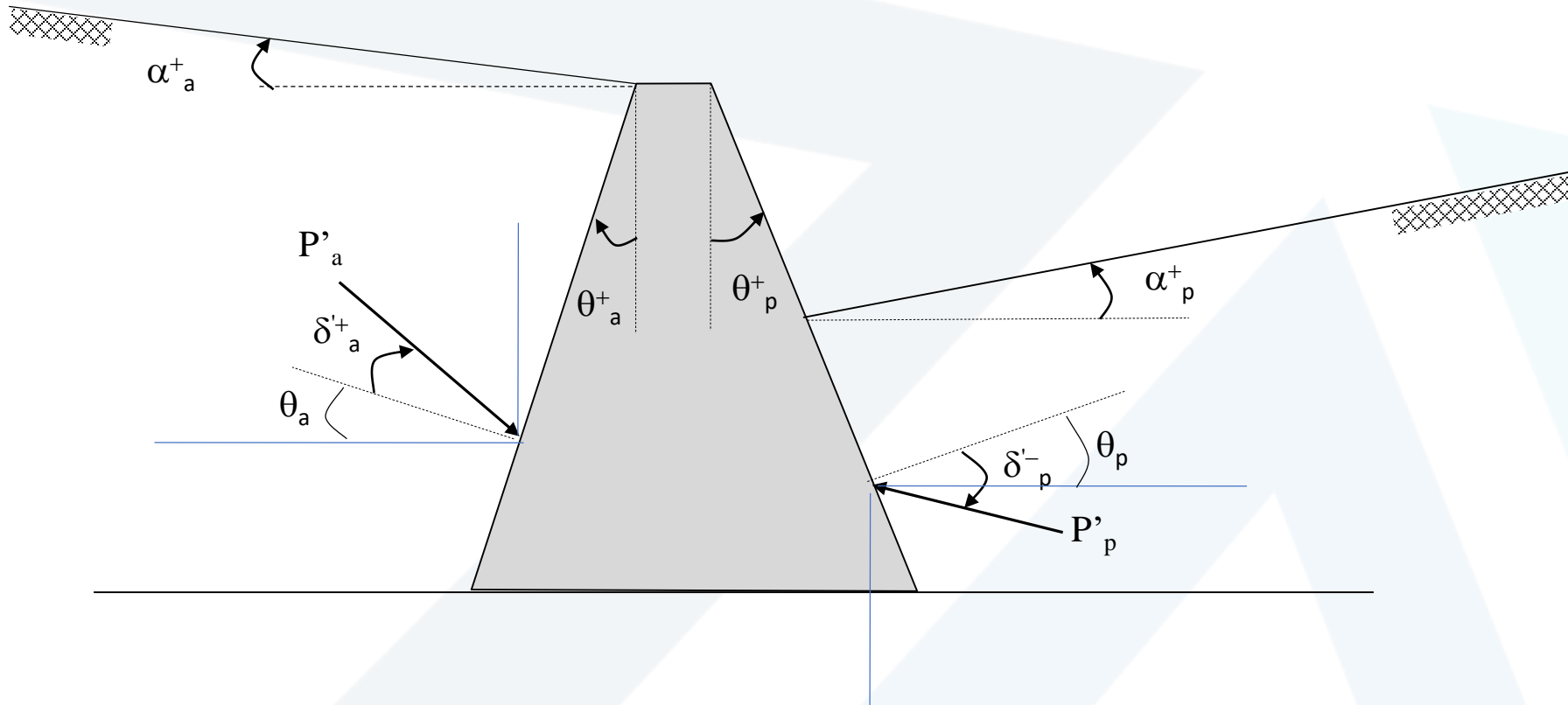
$$P'_p = \frac{1}{2} \gamma' \cdot H^2 \cdot K_p$$

اصطلاح الإشارات



α موجبة إذا كانت باتجاه الأعلى وسالبة إذا كانت باتجاه الأسفل
 θ موجبة إذا كانت باتجاه التربة وسالبة إذا كانت باتجاه الجدار
 δ : في حالة الضغط الفعال تكون δ^a موجبة
 وفي حالة الضغط السالب تكون δ^p سالبة .

اتجاه الحركة



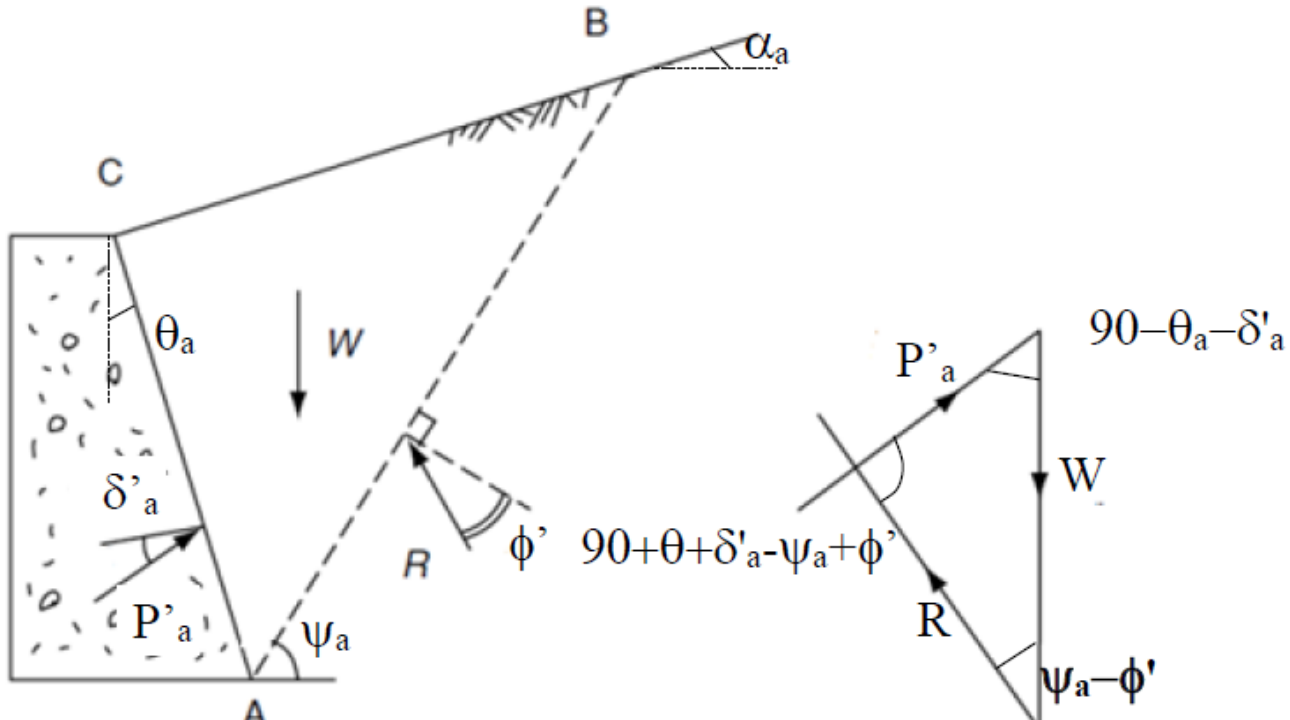
الضغط الفعال

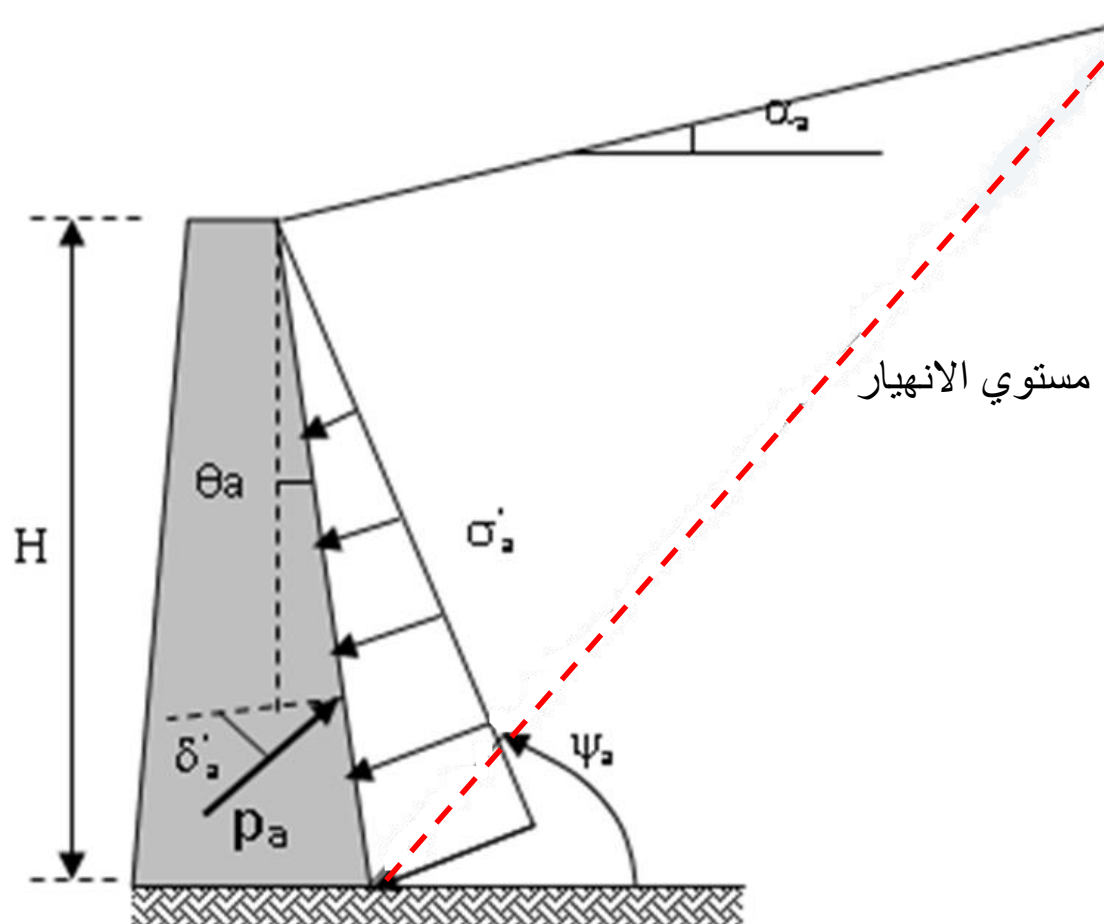
$$\frac{P'_a}{\sin(\psi_a - \phi')} = \frac{W}{\sin(90 + \theta + \delta'_a - \psi_a + \phi')}$$

بفرض تغير خطى للدفع الجانبي مع العمق، يمكن كتابة :

$$\sigma'_a = \gamma' H K_a$$

$$P'_a = \frac{1}{2} \gamma' H^2 K_a$$



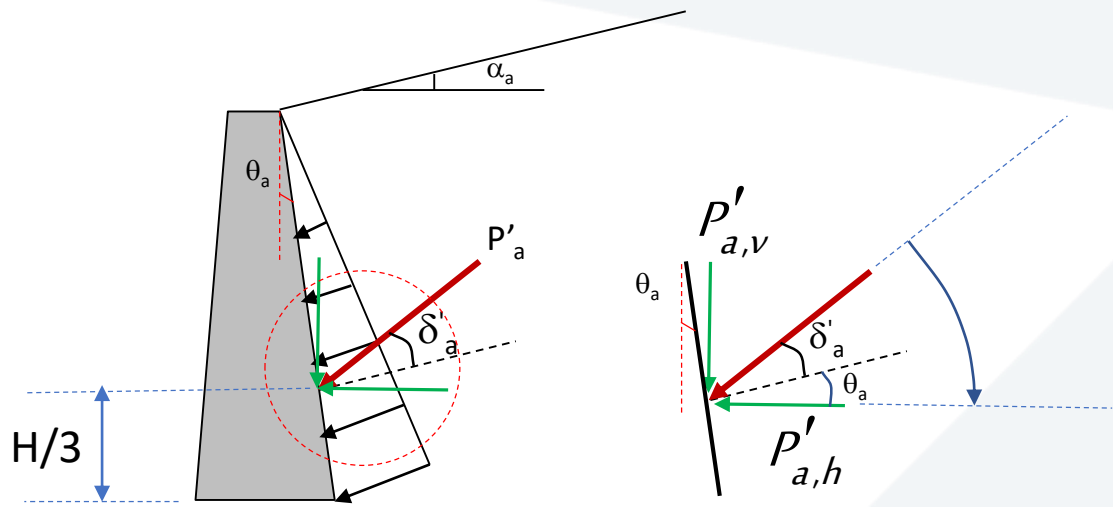


$$K_a = \frac{\cos^2(\phi' - \theta_a)}{\cos^2 \theta_a \cos(\delta'_a + \theta_a) \left[1 + \sqrt{\frac{\sin(\delta'_a + \phi') \sin(\phi' - \alpha_a)}{\cos(\delta'_a + \theta_a) \cos(\theta_a - \alpha_a)}} \right]^2}$$

$$K_a = f(\phi', \theta_a, \delta'_a, \alpha_a)$$

يميل مستوى الانهيار عن الأفق بالزاوية ψ_a التي تعطى بالعلاقة التالية :

$$\psi_a = \phi' + \tan^{-1} \left[\frac{\cos(\phi' - \theta_a)}{\sin(\phi' - \theta_a) + \sqrt{\frac{\sin(\phi' + \delta'_a) \cos(\theta_a - \alpha_a)}{\sin(\phi' - \alpha_a) \cos(\theta_a + \delta'_a)}}} \right]$$



$$P'_a = \frac{1}{2} \gamma' H^2 K_a$$

$$P'_{a,h} = P'_a \cdot \cos(\delta'_a + \theta_a) = \frac{1}{2} \gamma' H^2 K_{a,h}$$

$$P'_{a,v} = P'_a \cdot \sin(\delta'_a + \theta_a)$$

متوجهة نحو الأسفل

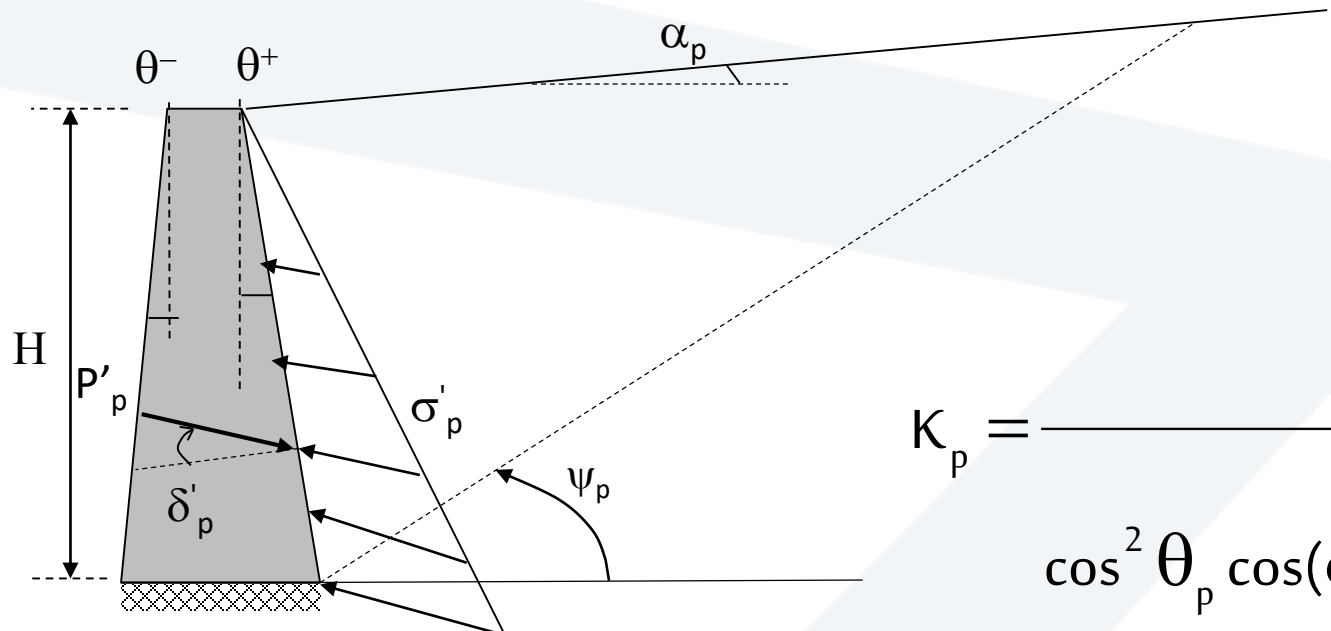
الضغط السلي (المعاكس)

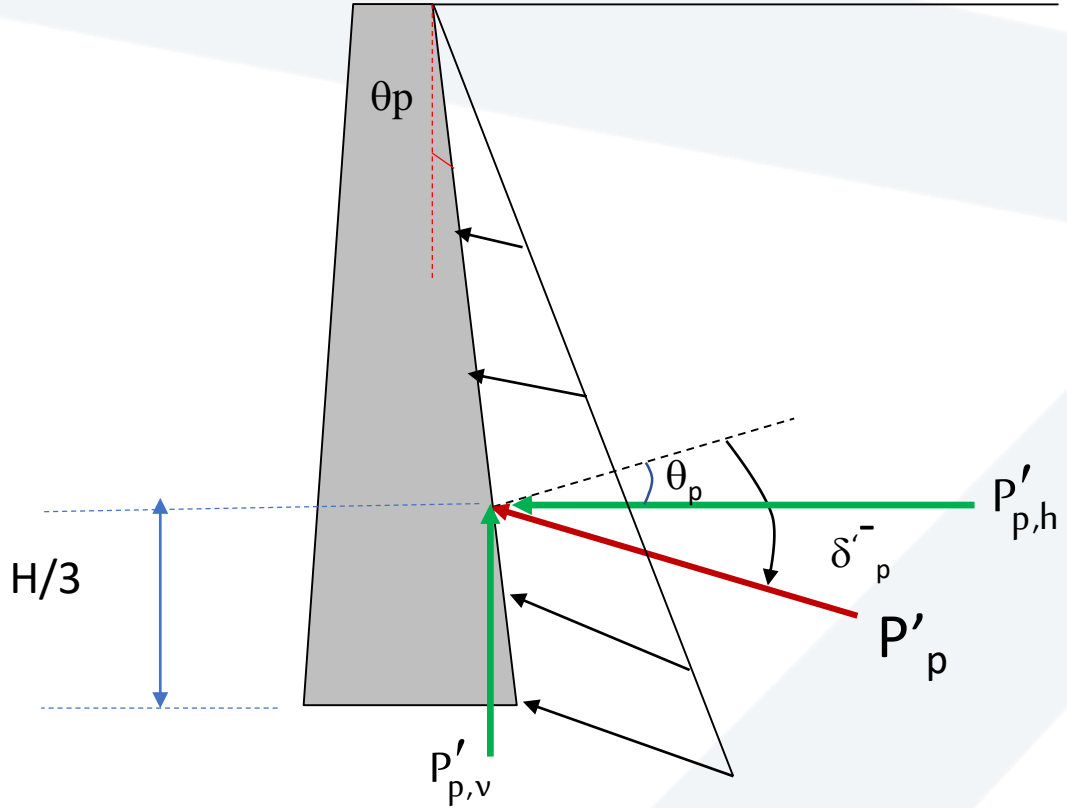
$$\sigma'_{p,z} = \gamma' z K_p$$

$$\cos^2(\phi' + \theta_p)$$

$$K_p = \frac{\cos^2(\phi' + \theta_p)}{\cos^2 \theta_p \cos(\delta'_p - \theta_p) \left[1 - \sqrt{\frac{\sin(\phi' + \delta'_p) \sin(\phi' + \alpha_p)}{\cos(\delta'_p - \theta_p) \cos(\alpha_p - \theta_p)}} \right]^2}$$

$$K_p = g(\phi', \theta_p, \delta'_p, \alpha_p)$$





$$P'_p = \frac{1}{2} \gamma' H^2 K_p$$

$$P'_{p,h} = P'_p \cdot \cos(\delta'_p + \theta_p) = P'_p \cdot \cos(|\delta'_p| - |\theta_p|)$$

$$P'_{p,v} = P'_p \cdot \sin(|\delta'_p| - |\theta_p|)$$

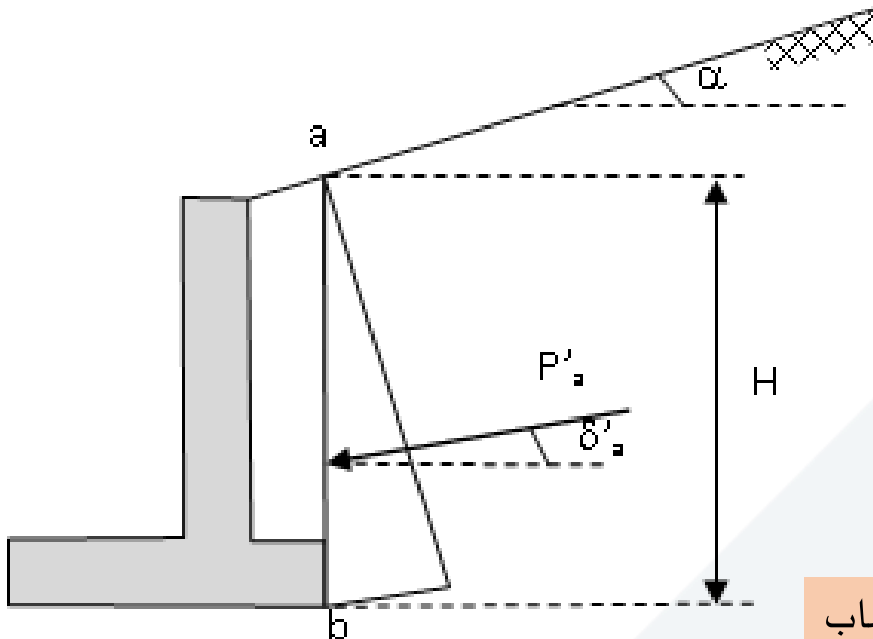
متوجهة نحو الأعلى

$$\sigma'_a = \gamma' H K_a - C' K_{a,c}$$

$$K_{a,c} = \frac{2 \cos \phi' \cos(\theta_a - \alpha_a)}{\cos \theta_a [1 + \sin(\phi' + \delta'_a - \alpha_a)]}$$

ملاحظة: فقط في حالة $\alpha = \theta = \delta' = 0$ يكون:

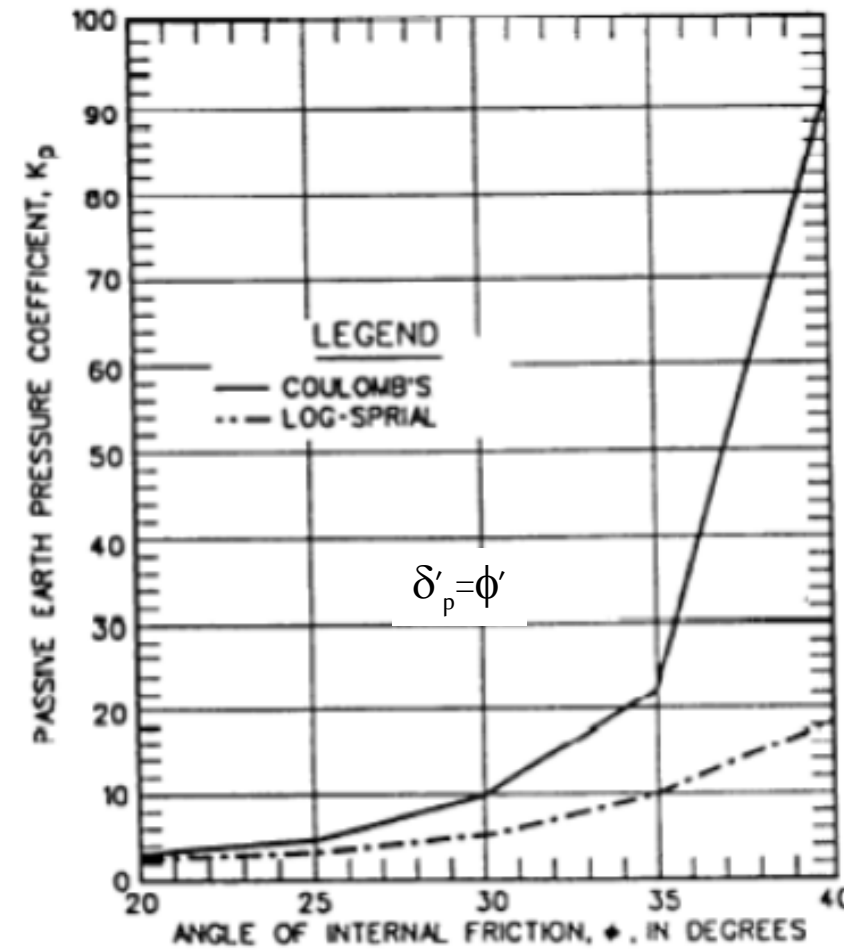
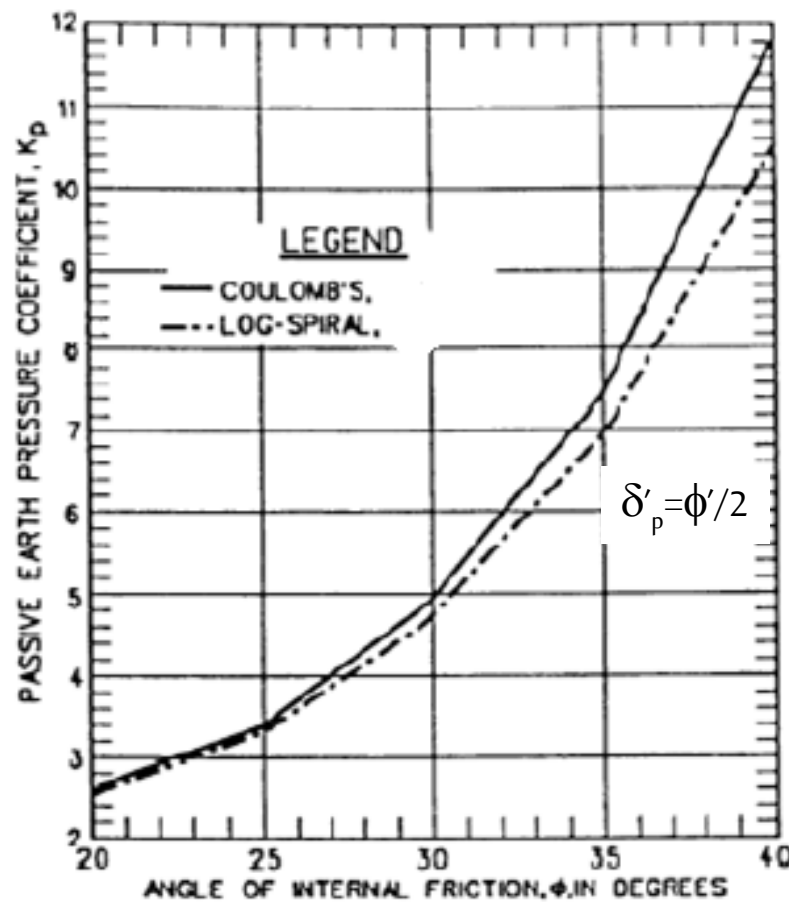
$$\sigma'_a = \gamma' H K_a - 2 C' \sqrt{K_a}$$



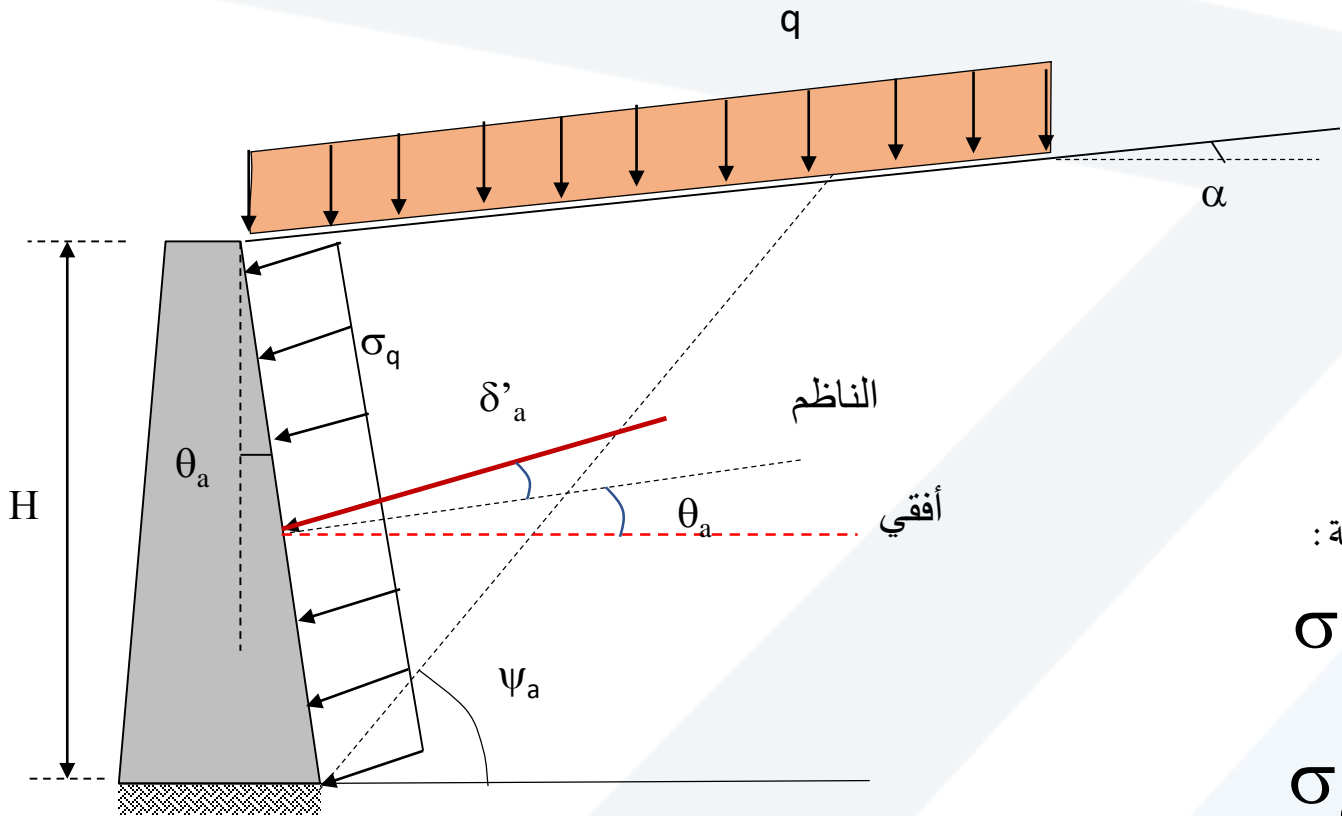
ملاحظة: في حالة الجدران المسليحة تبرز القاعدة عن الجذع بالقدم والكعب، ويعتبر الارتفاع H المستخدم في حساب محصلة الضغط الفعال متساوياً للارتفاع من منسوب أسفل القاعدة حتى سطح الأرض في نهاية كعب الجدار

$$\sigma'_{p,z} = \gamma' z K_p + C' K_{p,c}$$

$$K_{p,c} = \frac{2 \cos(\phi') \cos(\theta_p - \alpha_p)}{\cos(\theta_p) [1 + \sin(\phi' - \delta'_p - \theta_p + \alpha_p)]}$$



حالة وجود حمولة خارجية خلف الجدار



1- حالة حمولة موزعة بانتظام ملائمة للجدار ومتعددة على مساحة كبيرة

$$\sigma_q = q \cdot \frac{\cos \theta \cdot \cos(\alpha)}{\cos(\theta - \alpha)} \cdot K_a$$

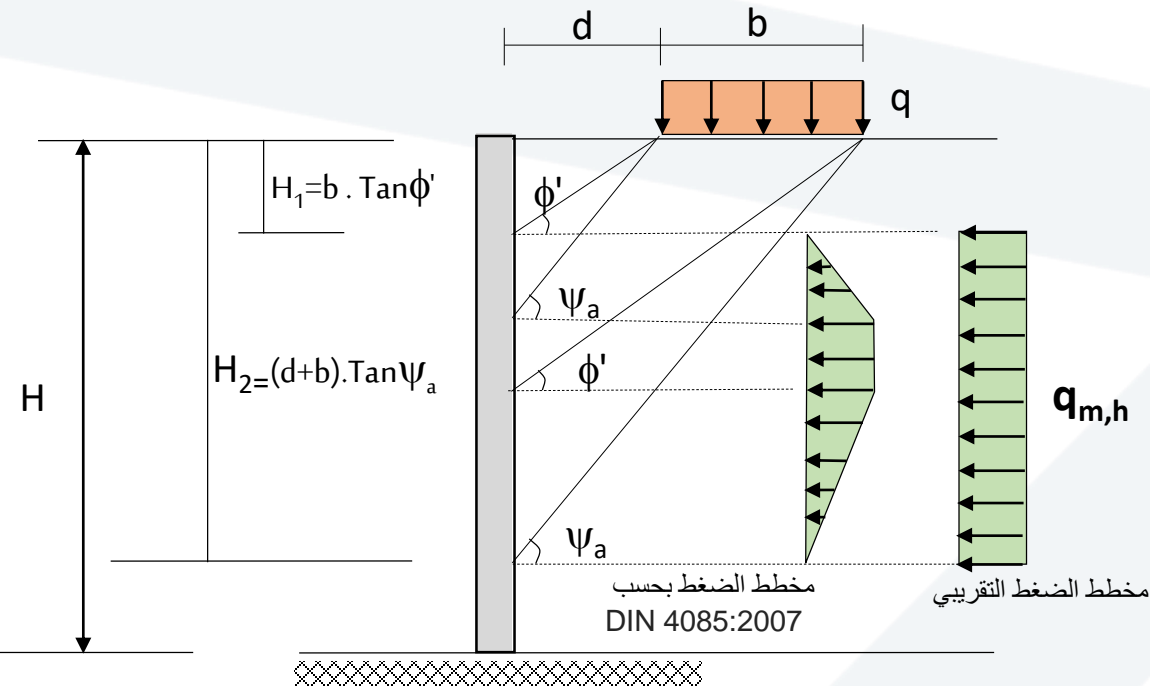
$$\sigma_{q,h} = \sigma_q \cdot \cos(\delta'_a + \theta_a)$$

في حال $\alpha=0$ و $\theta_a=0$ (الوجه الخلفي للجدار شاقولي)، تصبح العلاقات السابقة:

$$\sigma_q = q \cdot K_a$$

$$\sigma_{q,h} = \sigma_q \cdot \cos \delta'_a$$

2-حالة حمولة موزعة بانتظام ممتدة على مساحة محدودة



يبين الشكل مخطط الضغط الجانبي بحسب الكود الألماني (DIN4085:2007)

يمكن تقريب هذا الضغط إلى ضغط موزع بانتظام q_m يحسب بالعلاقة التالية :

$$q_m = \frac{P_{a,q}}{H_2 - H_1}$$

$$q_{m,h} = q_m \cdot \cos(\delta'_a + \theta_a) \quad q_{m,h}$$

$$\Rightarrow P_{a,q} = (q \cdot b) \cdot \frac{\sin(\psi_a - \phi')}{\cos(\psi - \phi' - \delta'_a - \theta_a)} = q \cdot b \cdot k_{a,q}$$

$$k_{a,q} = \frac{\sin(\psi_a - \phi')}{\cos(\psi - \phi' - \delta'_a - \theta_a)}$$

$$q_m = \frac{q \cdot b}{H_2 - H_1} \cdot \frac{\sin(\psi_a - \phi') \cdot \cos(\delta'_a + \theta_a)}{\cos(\psi - \phi' - \delta'_a - \theta_a)}$$

محصلة الدفع الجانبي
مائل بزاوية

$$(\delta'_a + \theta_a)$$

قوى الدفع الفعال على الجدار مع قوى الزلزال

طريقة مونونوبي-أوكابه (Mononobe-Okabe).

1- بفرض كتلة التربة المترقبة تخضع لتسارع أفقي ثابت ($a_h = k_h \cdot g$) وتسارع شاقولي ثابت - ($a_v = k_v \cdot g$) مطبقان في مركز ثقل كتلة التربة المترقبة

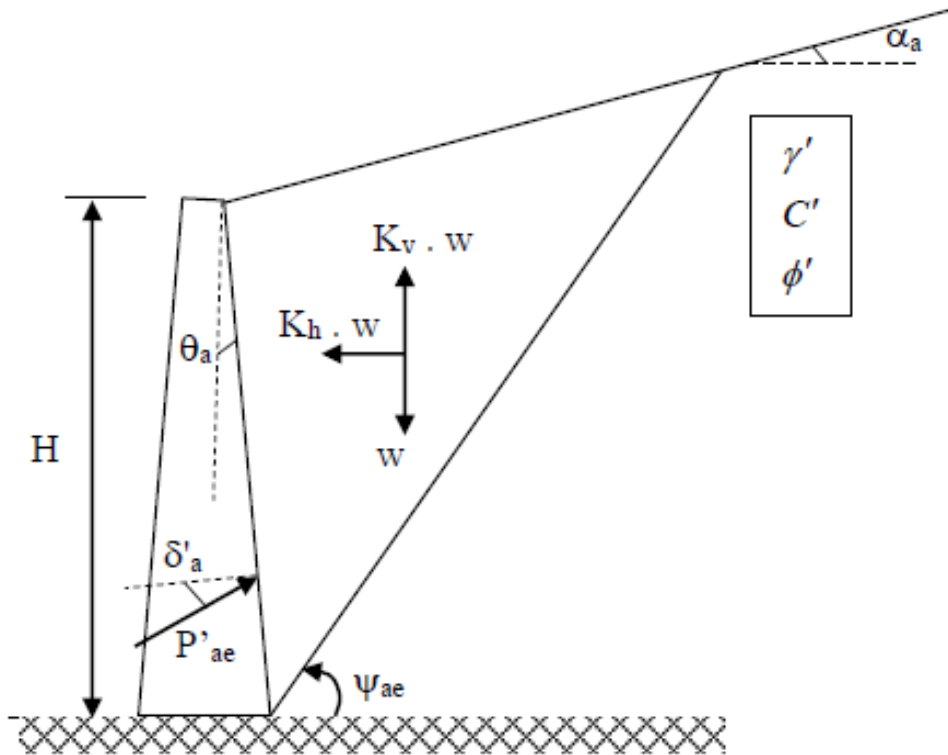
2- بفرض اتجاه a_h الموجب نحو الأسفل واتجاه a_h الموجب بعيداً عن الجدار

2- تؤثر قوى العطالة في الاتجاهات المعاكسة لاتجاهات التسارعات المطبقة من الحركة الزلالية. من أجل التسارعات الموجبة، تكون قوى العطالة معاكسة لهذه الاتجاهات كما هو مبين في الشكل، فقوة العطالة الشاقولية ($k_v \cdot W$) تتجه نحو الأعلى وقوة العطالة الأفقيه ($k_h \cdot W$) تتجه باتجاه الجدار، حيث.

k_h ثابت التسارع الأفقي و k_v ثابت التسارع الشاقولي (كلاهما نسبة من عامل زلزالية المنطقة Z)
 W وزن التربة ضمن موشور الانزلاق

$$a_h = k_h \cdot g \Rightarrow F_h = m \cdot a_h = m \cdot g \cdot k_h = k_h \cdot W$$

$$a_v = k_v \cdot g \Rightarrow F_v = m \cdot a_v = m \cdot g \cdot k_v = k_v \cdot W$$



في الكود الهندي (IS 1893 - 1984) ، تعتمد العلاقة التالية لحساب k_h :

$$k_h = \frac{1}{2} Z \frac{S_a}{R g}$$

معامل أهمية المنشأة ($I=1$)

Z عامل زلزالية المنطقة (مثال : اللاذقية $Z=0.3$ و طرطوس $Z=0.25$)

R معامل السلوك اللامرن. من أجل الجدران غير المسلحة (الصلبة)، تؤخذ عادة $R=1.5$

S_a/g معامل التسارع الطيفي. تعتبر الجدران صلبة ولذلك يعتبر الدور يساوي الصفر ومعامل التسارع الطيفي ($S_a/g=1$)

$$k_h = \frac{1}{2} Z \frac{1}{1.5} * 1 = \frac{Z}{3}$$

بالتبديل في العلاقة السابقة نحصل على :

أي أنه من أجل جدار استنادي غير مسلح يكون عامل التسارع الأفقي $k_h = Z/3$ ، وفي حالة الجدران المسلحة يكون عامل التسارع الأفقي أصغر من ذلك.

في الكود الأمريكي (AASHTO) ، تعتمد العلاقات التالية لحساب k_h :

حالة الجدران الصلبة (كالجدران التقليدية حيث الانتحال $U_x=0$) :

$$k_h = 0.74 Z \left(Z \cdot \frac{(25.4 \text{ mm})}{U_x} \right)^{0.25}$$

حالة الجدران المرنّة (كالجدران المسلحة) :

1. قوة الدفع الكلية الفعالة

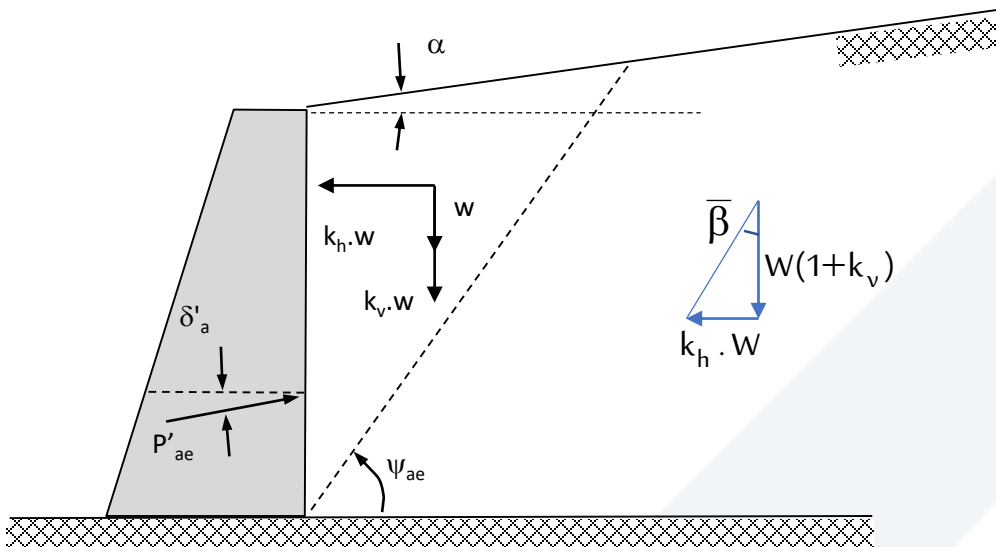
$$P'_{ae} = \frac{1}{2} \gamma' H^2 (1 - k_v) K_{ae} \cos^2(\phi' - \bar{\beta} - \theta)$$

$$\bar{\beta} = \tan^{-1} \left(\frac{k_h}{1 \pm k_v} \right)$$

عادة يتم اعتبار $K_v = 0$ وذلك لأن ذروتي التسارعات (الأفقية والشنقولية) لا تحصلان في وقت واحد

عندما يكون التسارع الشنقولي **باتجاه الأسفل**، تكون قوة العطالة $k_v \cdot W$ باتجاه الأعلى (عكس اتجاه W)، تعطى $\bar{\beta}$ العلاقة السابقة:

عندما يكون التسارع الشنقولي **باتجاه الأعلى**، تكون قوة العطالة $k_v \cdot W$ باتجاه الأسفل (باتجاه W) وتصبح العلاقة السابقة:



$$\psi_{ae} = \phi' - \bar{\beta} + \tan^{-1} \left[\frac{-\tan(\phi' - \bar{\beta} - \alpha_a) + c_{1ae}}{c_{2ae}} \right]$$

$$c_{1ae} = \sqrt{[\tan(\phi' - \bar{\beta} - \alpha_a)][\tan(\phi' - \bar{\beta} - \alpha_a) + \cot(\phi' - \bar{\beta} - \theta_a)][1 + \tan(\delta'_a + \bar{\beta} + \theta_a)\cot(\phi' - \bar{\beta} - \theta_a)]}$$

$$c_{2ae} = 1 + [\tan(\delta'_a + \bar{\beta} + \theta_a)][\tan(\phi' - \bar{\beta} - \alpha_a) + \cot(\phi' - \bar{\beta} - \theta_a)]$$

$$\bar{\beta} \leq \phi' - \alpha_a \Rightarrow k_{h,max} = (1 - k_v) \tan(\phi' - \alpha_a) \quad \text{حدود التسارع الأفقي}$$

موقع قوة الدفع الفعال P'_{ae} على الوجه الخلفي للجدار

$$P'_{ae} = P'_{ae} + \Delta P'_{ae}$$

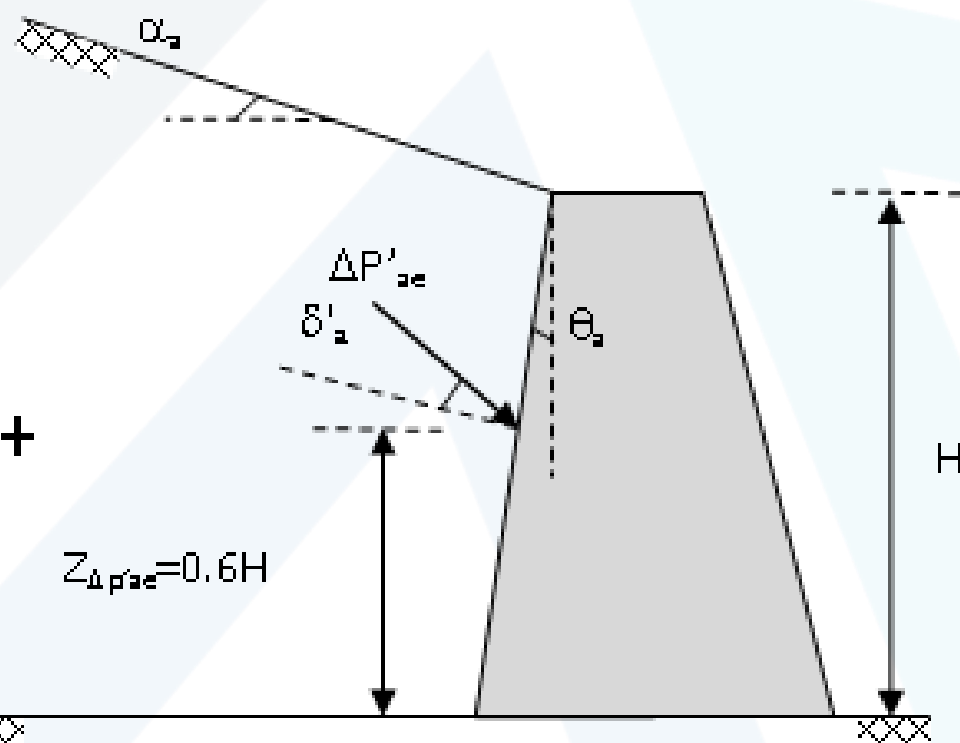
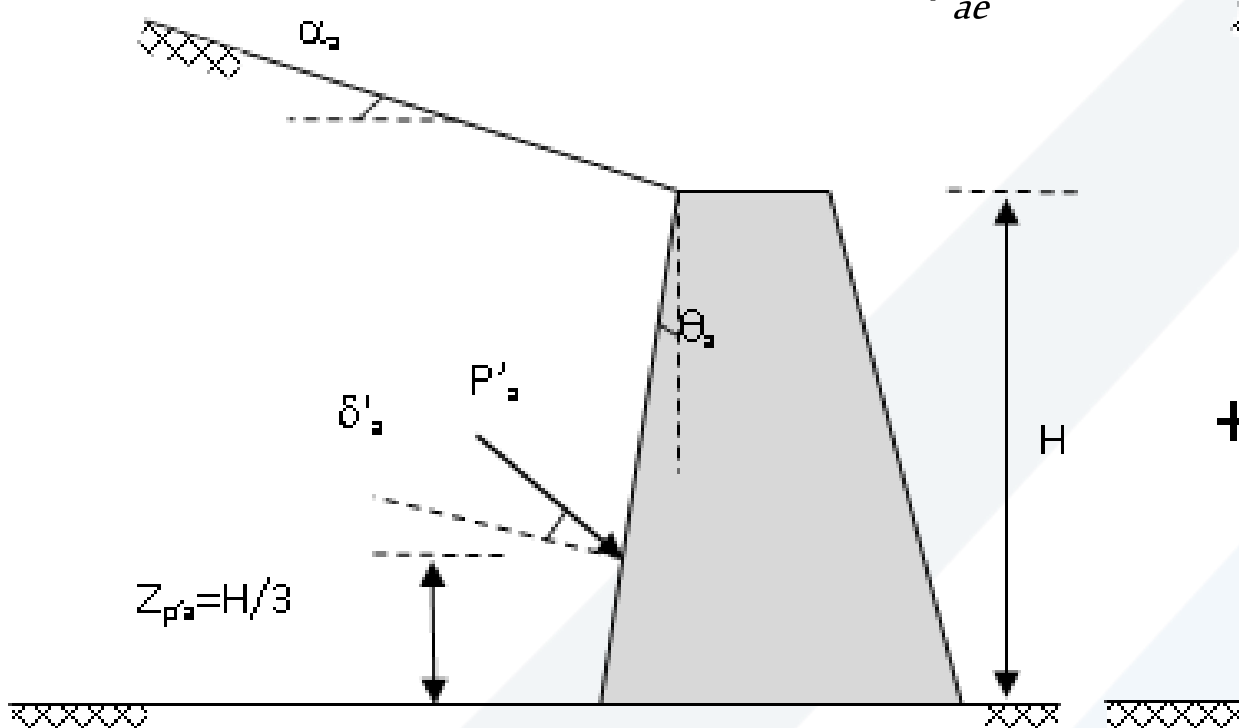
$$\Delta P'_{ae} = P'_{ae} - P'_a$$

P'_a يؤثر على مسافة $H/3$ من أسفل الجدار

فرض أن $\Delta P'_{ae}$ يؤثر على مسافة $0.6H$ من أسفل الجدار

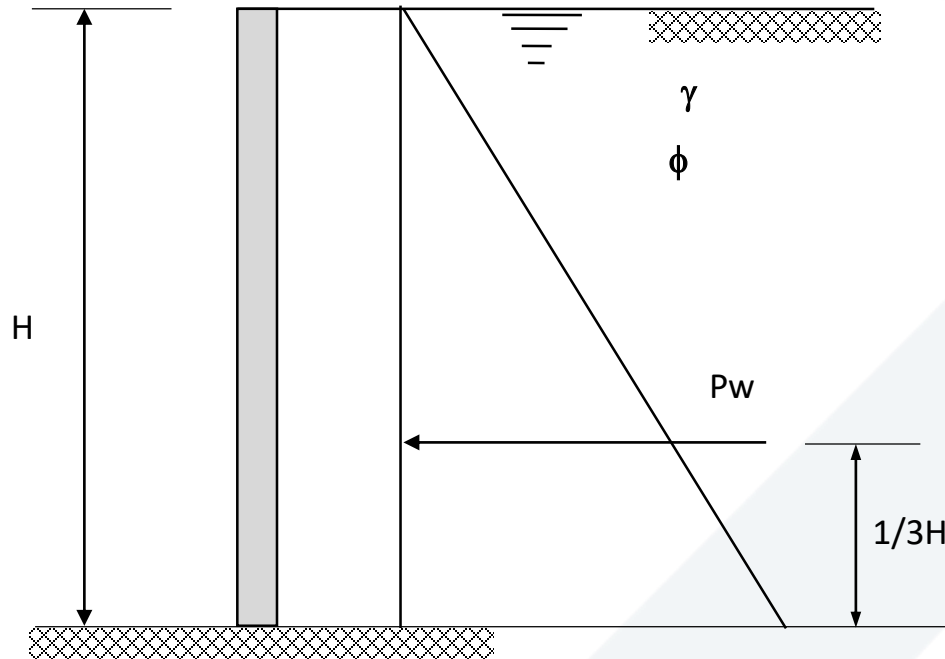
حساب نقطة تطبيق المحصلة P'_{ae} من العلاقة التالية:

$$Z_{P'_{ae}} = \frac{\Delta P'_{ae} \cdot (0.6H) + P'_a \cdot \frac{H}{3}}{\Delta P'_{ae}}$$



يؤثر على الجدار دفع التربة الكلي P_{ae} إضافة إلى الدفع الناتج عن الماء وهو مكون من دفع ستاتيكي ودفع ديناميكي.

يحسب دفع الماء على الجدار بطريقة تقريبية كما يلي :



أ-ضغط الماء الهيدrostاتيكي

بفرض منسوب الماء عند سطح الأرض، يكون ضغط الماء أسفل الجدار :

$$\sigma_w = \gamma_w \cdot H$$

وتكون محاصلة ضغط الماء الهيدrostاتيكي

$$P_w = \frac{1}{2} \gamma_w H^2$$

Matsuzawa Ishibaski, and Kawamura (1985)

فرضية 1 : الماء نتيجة للاهتزاز يبقى محصوراً خلف الجدار ، و اقترح تعديل k_h عن طريق ضريرها بالنسبة γ_{sub}/γ وبالتالي نستطيع كتابة :

$$k_{h,w} = \frac{\gamma}{\gamma_{sub}} k_h$$

$$\bar{\beta} = \tan^{-1} \left(\frac{k_{h,w}}{1 - k_v} \right)$$

فرضية 2 : نتيجة للاهتزازات يمكن للماء أن يكون حر الحركة خلف الجدار ، و اقترح تعديل k_h عن طريق ضريرها بالنسبة G_s تمثل الوزن النوعي للترابة ، وبالتالي نستطيع كتابة :

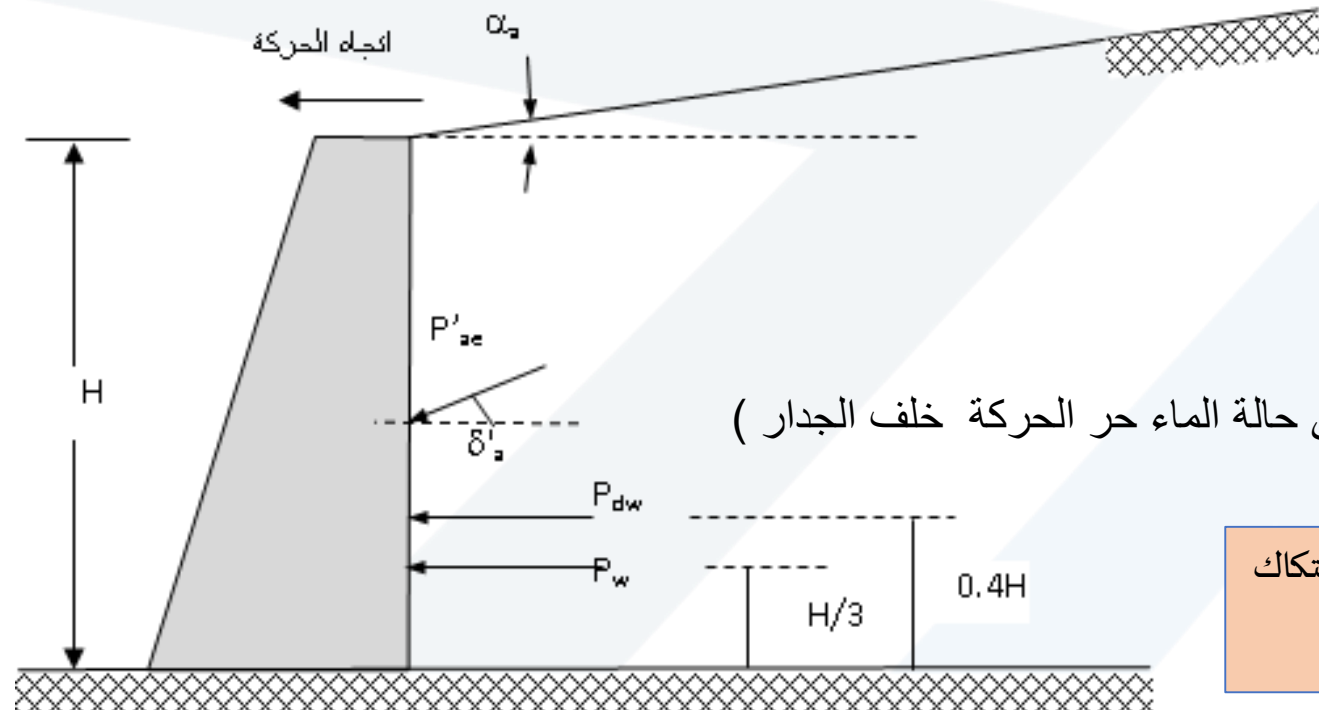
$$k_{h,w} = \frac{G_s}{G_s - 1} k_h \quad \bar{\beta} = \tan^{-1} \left(\frac{k_{h,w}}{1 - k_v} \right)$$

$$P_{wd} = \frac{7}{12} k_h \gamma_w H^2$$

يمكن حساب محصلة ضغط الماء الهيدروديناميكي P_{wd} بالعلاقة التقريبية التالية :

و هذه القوة تؤثر على ارتفاع 0.4H من قاعدة الجدار

القوى المؤثرة على الجدار (حالة تربة+ماء+زلزال)



2-ضغط الماء الهيدروستاتيكي P_w

3-ضغط الماء الهيدروديناميكي P_{dw} (فقط في حالة الماء حر الحركة خلف الجدار)

ملاحظة: نتيجة لوجود الماء يتم تخفيض زاوية الاحتكاك

بين التربة والجدار δ' إلى النصف

حالة وجود حمولات خارجية سطحية

حمولة سطحية q ممتدة على مساحة كبيرة

$$P_{a,q} = q \cdot H \frac{\cos \theta}{\cos(\theta - \alpha)} K_{ae}$$

كما يحسب الضغط الجانبي السلبي الناتج عن هذه الحمولة بالعلاقة التالية :

$$P_{p,q} = q \cdot H \frac{\cos \theta}{\cos(\theta - \alpha)} K_{pe}$$

وتقع نقطة تطبيق محصلة قوة الدفع الناتجة عن الحمولة الخارجية على بعد $(0.66H)$ من قاعدة الجدار